

А.Д. Алексеев, И.А. Тихонов, С.А. Лапицкая, В.М. Резников

## ИССЛЕДОВАНИЕ ФРАКЦИОННОГО СОСТАВА И МОЛЕКУЛЯРНО-ВЕСОВОГО РАСПРЕДЕЛЕНИЯ ЛИГНОСУЛЬФОНАТОВ

Общие сведения. Молекулярные веса фракций одного и того же препарата лигносульфонатов (ЛС) колеблются от нескольких сотен до многих десятков тысяч [1-3]. Степень неоднородности ( $\bar{M}_w/\bar{M}_n$ ) ЛС, из которых не удалены низкомолекулярные фракции, составляет при этом  $6,7 \div 7,0$  [1, 4], в то время как для лигнина Бьеркмана найдено  $\bar{M}_w/\bar{M}_n = 1,7$  [5], а для диоксанлигнина –  $1,7 \div 3,1$  [6]. Причина столь широкой полидисперсности ЛС по сравнению с нативными лигнинами обусловлена, по-видимому, их происхождением. Поэтому комплексное исследование молекулярно-весовых распределений МВР и физико-химических свойств фракций лигносульфонатов позволило бы глубже проникнуть в механизм образования ЛС, а следовательно, и в процесс сульфитной делигнификации древесины.

Настоящая работа является продолжением ранних исследований процесса варки сульфитной целлюлозы [7] и предпринята с целью изучения физической и химической неоднородности и МВР ЛС.

Объектом исследования послужили ЛС, полученные кислотой сульфитной варкой диоксанлигнина, выделенного под азотом (препарат ДЛА). Изолированный препарат лигнина выбран в качестве сырья для получения ЛС с тем, чтобы можно было анализировать все образовавшиеся ЛС, низкомолекулярные фракции которых обычно теряются при выделении ЛС из сульфитного щелока и очистке от углеводов.

Очищенные ЛС – На разделялись на колонке с сефадексом G - 75 на ряд фракций. Элюентные диаграммы ЛС от нескольких варок имели вид гель-хроматограммы, представленной на рис. 1. Мелкие фракции были объединены в 11 более крупных, которые высушивались под вакуумом до постоянного веса и анализировались на содержание метоксилов и серы (табл. 1.)

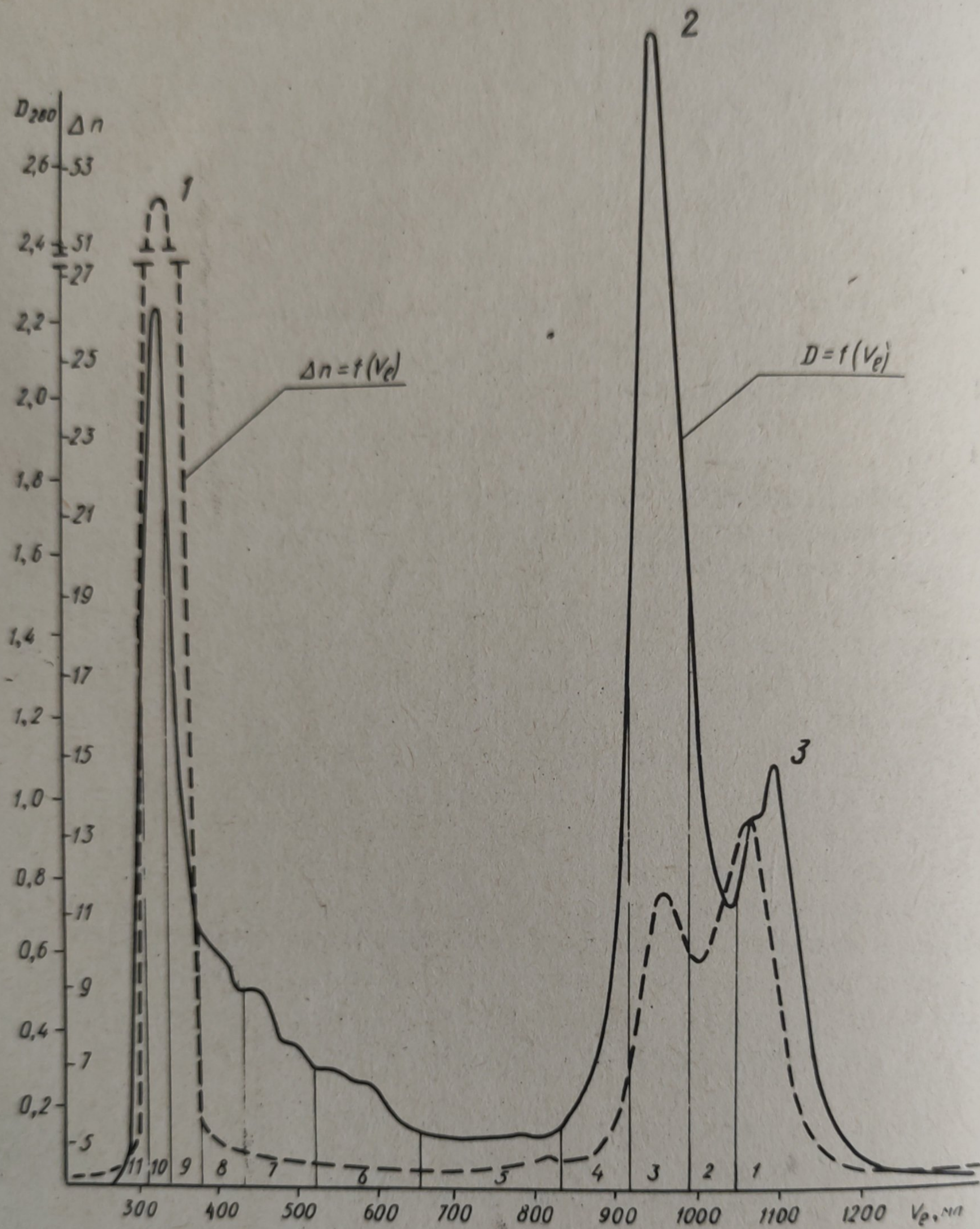


Рис. 1. Препаративная гель-хроматограмма ЛС-На (гель-сепадекс G-75, элюент – вода):

$V_e$  – элюентный объем, мл;  $D_{280}$  – оптическая плотность при  $\lambda = 280$  нм;  $\Delta n$  – инкремент показателя преломления.

Оптическое поглощение в видимой и ультрафиолетовой частях спектра и молекулярные веса фракций также представлены в табл. 1.

Табл. 1. Содержание серы, метоксилов, МВ и оптическое поглощение фракций лигносульфонатов

№ фракций	$\bar{M}_D$	Содержание, %		Оптическое поглощение, л/г. см	
		- $\text{OCH}_3$	S	$K_{\text{уд}}^{280}$	$K_{\text{уд}}^{400}$
1	860	8,36	-	11,3	0,39
3*	2600	12,2	-	15,2	0,49
4	4400	12,4	-	15,3	0,64
5	13500	12,4	3,7	16,6	0,77
6	18600	12,7	3,3	16,6	0,82
7	31600	11,6	4,0	14,3	1,02
8	44600	11,8	-	15,1	1,08
9	77600	11,5	4,8	11,6	0,85
10	107700	-	-	-	-
11	141000	-	-	-	-

Из данных табл. 1 и рис. 2 видно, что несмотря на качественную тождественность УФ-спектры фракций различаются количественно.

Более наглядно об этом свидетельствует график зависимости коэффициентов оптического поглощения ( $K_{\text{уд}}^{280}$ ,  $K_{\text{уд}}^{400}$ ) от молекулярного веса, кривые которого имеют максимум при  $MV = 35000 \div 40000$  (рис. 3). Поглощение всех фракций ЛС с  $MV$  до 35000 как в видимой, так и в УФ-области спектра, аддитивно слагается из характеристических частот поглощения, вероятно, одних и тех же хромофорных систем. В высокомолекулярных фракциях (более 35000) наблюдается резкое уменьшение этих группировок. Эти данные свидетельствуют о значительных различиях в структуре и химическом составе фракций с  $MV > 40000$  и менее 40000, что, вероятно, связано с их различным происхождением.

О сложности процессов образования ЛС свидетельствует и кривая молекулярно-весового распределения (МВР) их. Несмотря

\* Фракция 2 не анализировалась, так как содержала значительный процент минеральных примесей.

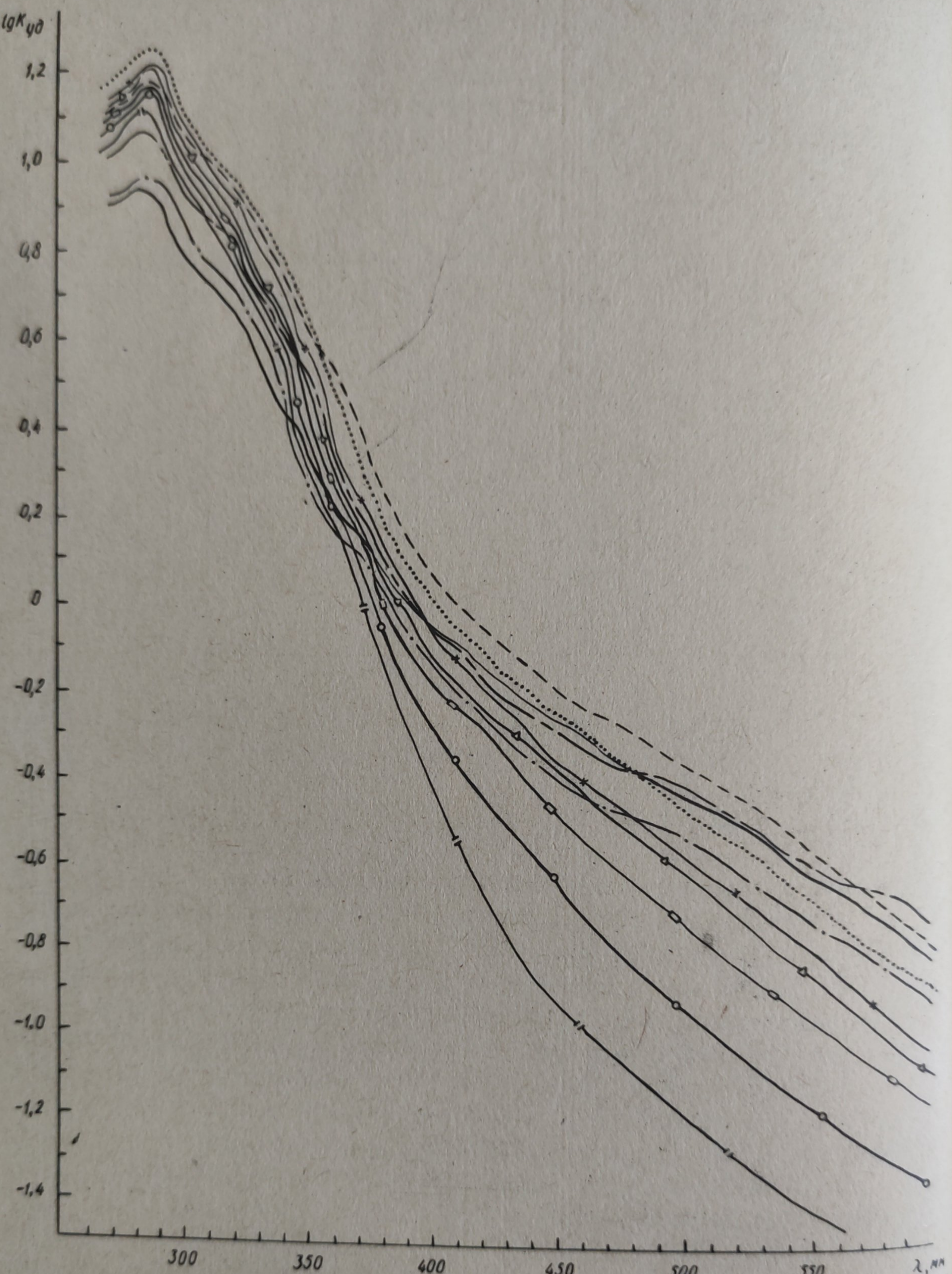


Рис. 2. УФ-спектры фракций ЛС-На:  
фракция 1 (---), 3 (-○-), 4 (-□-), 5 (-△-), 6 (-×-), 7 (....),  
8 (- - -), 9  $\frac{\text{л}}{\text{Г.см}}$ , 10 (-•-), 11 (—);  $K_{уд}$  — уд. коэф. по-  
глощения,  $\frac{\text{л}}{\text{Г.см}}$ ;  $\lambda$  — длина волны, нм.

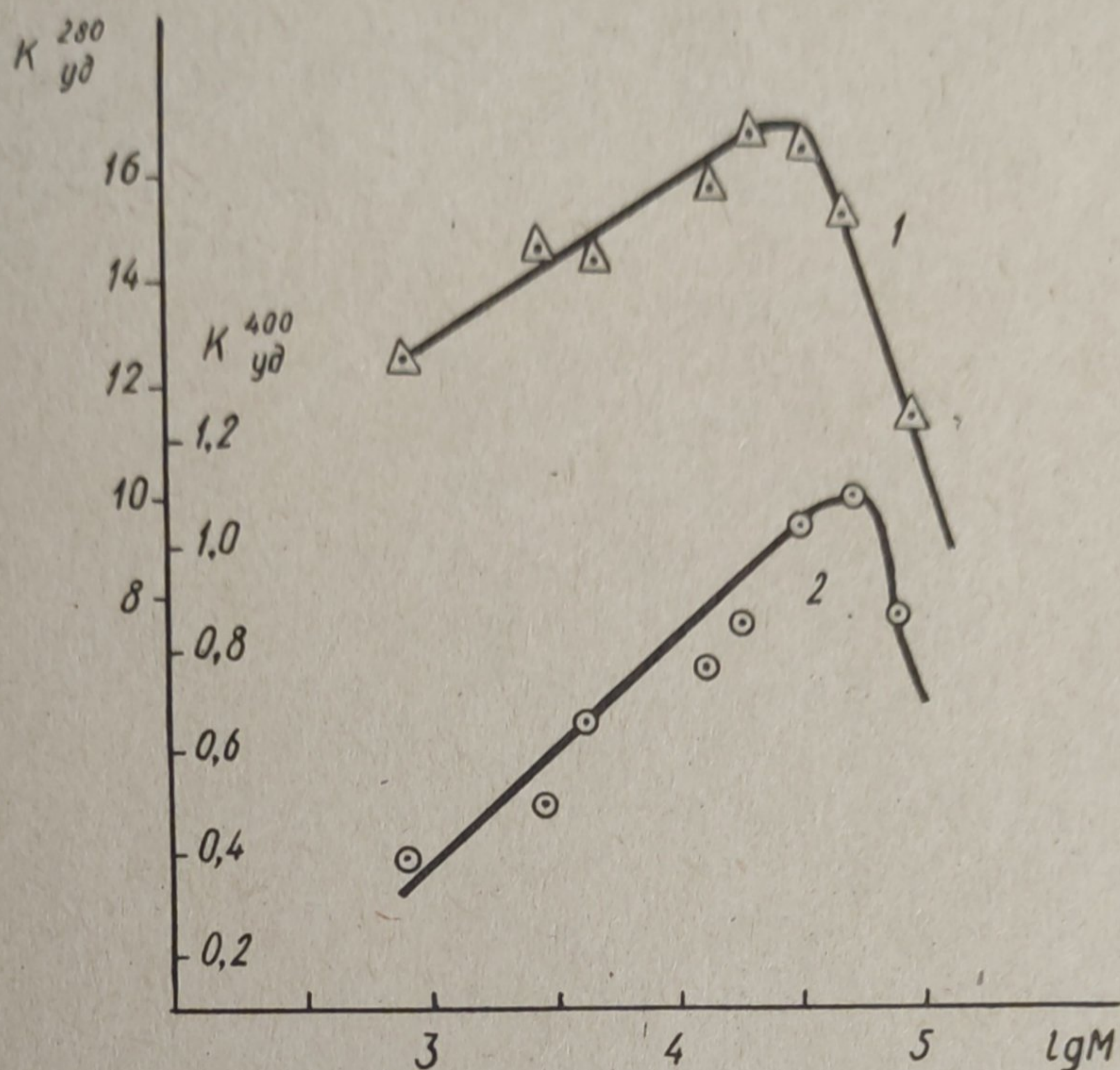


Рис. 3. Зависимость уд. коэф. оптического поглощения при  $\lambda = 280$  нм (кр. 1) и  $400$  нм (кр. 2.) от молекулярного веса фракций ЛС-На.

на некоторые различия в условиях сульфитирования препарата ДЛА кривые МВР образующихся ЛС имеют идентичный характер, различаясь лишь количественно. Как правило, ЛС имеют би- или мультимодальное распределение с максимумом в области МВ  $2000 \pm 3000$  и несколько десятков тысяч (рис. 4, кривая 1). Кривая 1 рис. 4 свидетельствует о чрезвычайной полидисперсности ЛС. Средневесовой и среднечисловой МВ ЛС, найденные статистической обработкой кривой МВР, равны соответственно 43000 и 4500, а их отношение  $\bar{M}_w/\bar{M}_n = 9,6$ .

Если принять гипотезу Горинга [8] и рассматривать образование ЛС при делигнификации древесины как процесс статистически эквивалентный беспорядочному распаду макромолекулы протолигнина бесконечного МВ, то продукт деструкции ЛС должен иметь в конце концов равновесное распределение, которое характеризуется отношением  $\bar{M}_w/\bar{M}_n = 2:1$  [9].

Однако, как свидетельствуют экспериментальные данные, МВР лигносульфонатов совершенно не соответствуют равновесному распределению, характерному для процесса деструкции.

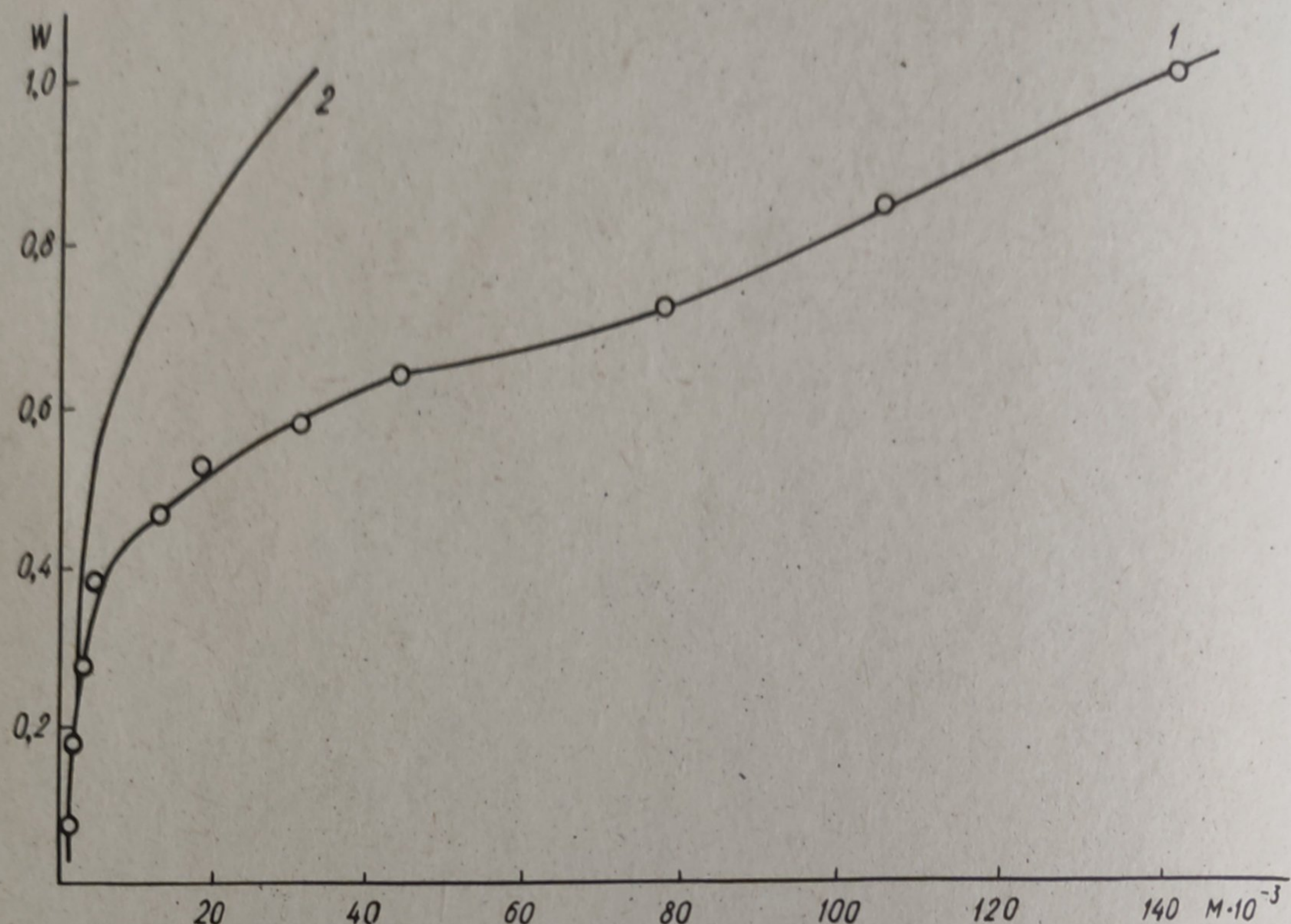


Рис. 4. Интегральные кривые молекулярно-весового распределения исходного диоксанлигнина (кр. 2) и его лигносульфоната (кр. 1).

На рис. 4 сопоставлены кривые МВР исходного диоксанлигнина (кривая 2) и полученных из них ЛС (кривая 1). Хорошо видно, что при сульфитной варке ДЛА его МВР претерпело значительные изменения: появилась фракция с  $M_B > 30000$ , которая имеет свой максимум при  $M_B \sim 100000$ . Появление нового высокомолекулярного пика после сульфитирования диоксанлигнина свидетельствует о том, что в процессе сульфитной варки ДЛА наряду с реакциями сульфитирования и гидролитической деструкции идут и полимеризационно-поликонденсационные процессы. Эти выводы подтверждают наши ранние исследования по механизму сульфитной делигнификации [3, 7]. Природа групп, участвующих в сшивке, пока что неясна, но несомненно, что образование фракций с  $M_B$ , большим 30000 (которые отсутствуют в исходном препарате), связано с разрушением основных хромофорных систем.

Техника эксперимента. Получение лигносульфонатов.  
ЛС получались варкой диоксанлигнина, выделенного в атмосфе-

ре азота из древесины ели, кислым сульфитным щелоком (8,3% всего  $SO_2$ , 1% -  $Na_2O$ , pH 1,2) по следующему режиму: подъем температуры до  $105^{\circ}C$  - 2 ч; стоянка при  $105^{\circ}C$  - 2 ч; подъем температуры до  $140^{\circ}C$  - 2 ч; варка при  $140^{\circ}$  -- 4 ч. Гидромодуль 1:50.

Варочный раствор, содержащий растворившиеся ЛС, продувался азотом до полного удаления свободного  $SO_2$ . Затем ЛС ионообменом на колонке с катионитом КУ-1 превращались в свободные ЛСК, которые вновь продувались азотом для удаления высвободившейся  $SO_2$ , и далее, пропусканием через колонку с катионитом в Na-форме, превращались вновь в ЛС-Na. Однако такая очистка не позволила полностью избавиться от минеральных примесей, которые при фракционировании ЛС на сепадексах выходили в последних фракциях (№ 1 + 3).

Очистка низкомолекулярных фракций ЛС от минеральных примесей. Обычные методы очистки ЛС от низкомолекулярных примесей такие, как диализ через полупроницаемые мембранны или осаждение ЛС ароматическими аминами и другими соединениями, не удовлетворяли нас, так как при этих операциях удаляется значительная доля и самих ЛС. Так найдено, что при диализе через целлофановые мембранны потери ЛС составляют до 40% от веса исходного образца [10,11]. Столь же значительны потери и при осаждении ЛС аминами или комплексными солями, поэтому обессоливание низкомолекулярных фракций ЛС производилось фракционированием ЛС на мелкопористом сепадексе G = 15.

Как видно из рис. 1, на котором представлены кривые  $D_{280} = f(V_e)$  и  $\Delta n^{20} = f(V_e)$  одного и того препарата ЛС, минеральные примеси выходят из колонки вместе с фракциями 1, 2 и 3. Это заметно по росту и расширению пика 3 на кривой  $\Delta n = f(V_e)$  по сравнению с положением его на кривой  $D = f(V_e)$ , а также по белому цвету высущенных фракций и значительному увеличению их веса по сравнению с вычисленными по гель-хроматограмме (кривая  $D = f(V_e)$ ).

Пля обессоливания фракции 1+3 элюировались через колонку с сепадексом G - 15, гель которого задерживает низкомолекулярные соединения и свободно пропускает вещества с М<sub>р</sub> большим 1500. Предварительно в модельном опыте были найдены элюентные объемы, в пределах которых выходят минеральные соли. Для этого в колонку вносился раствор  $Na_2SO_3$ , количество и концентрация которого примерно соответствовали тем же величинам во фракциях ЛС. В элюате на интерферометре ИТР-2 замерялся инкремент показателя преломления и строил-

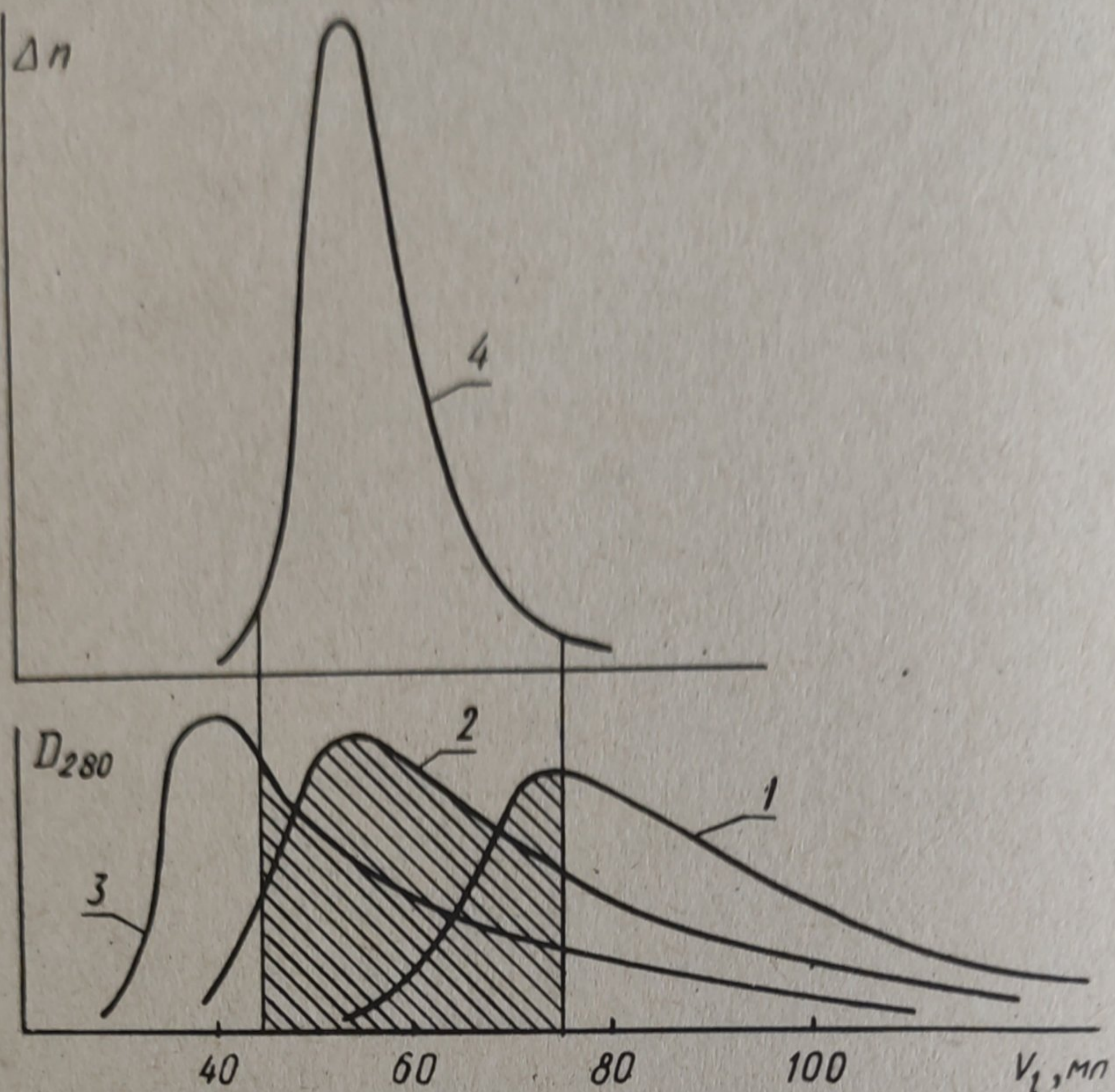


Рис. 5. Кривые гель-фильтрации сульфита натрия (кр. 4) и фракций 1 – 3 ЛС – Na (кр. 1 – 3, соответственно):

$V_e$  – элюентный объем, мл;  $D_{280}$  – оптическая плотность при  $\lambda = 280$  нм;  $\Delta n$  – инкремент показателя преломления.

ся график его зависимости от элюентного объема (кривая 3, рис. 5). Элюентные объемы обессоливаемых фракций, соответствующие тому участку на оси абсцисс, в пределах которого элюируются и минеральные соли (рис. 5, заштрихованная область), отбрасывались, а остальные собирались, концентрировались и сушились, как описано выше. Как видно из рис. 5, наиболее загрязненной минеральными примесями оказалась фракция 2, поэтому обессолить ее на сепадексе не удалось и в дальнейшем она не анализировалась.

**Фракционирование.** Препаративное разделение ЛС на фракции производилось на колонке ( $l = 160$  см;  $\phi 31$  мм) с сепадексом G – 75. Элюентом служила вода. Для гель-фильтрации бралось  $40 \div 60$  мл образца 3 – 5%-ного раствора ЛС – Na. Скорость элюирования поддерживалась постоянной и составляла  $0,7 \frac{\text{мл}}{\text{мин}}$ . Отбор фракций производился автоматическим коллектором по времени через  $7 \div 10$  мин. В отобранных фра-

кциях концентрация ЛС - Na определялась спектрофотометрически на СФ-4А.

Мелкие фракции объединялись в 11 крупных (см. рис. 1), каждая из которых концентрировалась отгонкой под вакуумом при температуре не выше 50°C, упаривалась в вакуум-сушильном шкафу и доводилась до постоянного веса в вакуум-экскаторе над  $\text{P}_2\text{O}_5$ .

Определение МВ. Ранее [3] нами было найдено, что зависимость коэффициента диффузии ( $D$ ) и характеристической вязкости  $\eta$  от МВ для фракций ЛС описывается следующими уравнениями: (1)  $D = 3,8 \cdot 10^{-5} \cdot M^{0,38}$  и  $(\eta) = 7,6 \cdot 10^{-3} \cdot M^{0,19}$  (2).

Для определения МВ фракций ЛС в настоящей работе было использовано уравнение (1). Так как большее значение экспоненты в этом выражении (0,38) по сравнению с уравнением (2) позволяет находить МВ с большей точностью. Коэффициенты диффузии замерялись на приборе для микроэлектрофореза белков в специально сконструированной кювете в водном растворе 1 M NaCl. Для вычисления МВ использовались значения  $D$ , найденные при экстраполяции кривой  $D = f(c)$  и нулевой концентрации ( $c=0$ ).

УФ-поглощение. УФ-спектры фракций ЛС измерялись на спектрофотометре СФ-4А в кварцевых круглых кюветах различной толщины. ЛС растворялись в диметилсульфоксида, т.к. высокомолекулярные фракции не растворялись в водных растворах электролитов, и спектрофотометрировались против кюветы с ДМСО.

Содержание серы в образцах лигносульфонатов определялось по Шенигеру [12], а содержание метоксильных групп методом Фибоха и Шваппаха [13] в модификации Филиповика и Стефаника [14].

#### Выводы

1. Найдено, что фракции лигносульфонатов с молекулярным весом больше 35.000 и меньше 35.000 неоднородны по химическому составу и структуре.

2. Построена кривая распределения ЛС по МВ, которая подтверждает сложный характер превращений лигнина в процессе сульфитной варки, включающий в себя как реакции деградации его макромолекулы, так и реакции ее сшивки.

## Л и т е р а т у р а

1. V. F. Felicetta, A. Ahola, J. L. Mc Carthy.  
J. Am. Chem. Soc., 78, 1899 (1956). 2. P. R. Gupta,  
J. L. McCarthy. Macromolecules, 1, 236  
(1968). 3. А.Д. Алексеев. Исследование гидродинамических  
свойств изолированных лигнинов и изменения их полидиспер-  
ности в условиях сульфитного варочного процесса. Канд. дис.,  
Рига, 1970. 4. K. Schwade, L. Has'her. Cellulose  
Chem., 20, 61 (1942). 5. А.Д. Алексеев, В.М. Резни-  
ков, Б.Д. Богомолов, О.П. Соколов. Химия древесины,  
4, 49 (1969). 6. A. Rezanowich, W.Q. Jean, D.A.I. Go-  
ring, Svensk Papperstidn, 66, 141 (1963). 7.  
А.Д. Алексеев, В.М. Резников, Л.Г. Шваменталь. Хи-  
мия древесины, 9, 77 (1971). 8. D.A.I. Goring. Solution  
Properties of Natural Polymers. International Sym-  
posium. Edinbyrg, 1967; London. 1968, 115.  
9. С.Я. Френкель. Введение в статистическую теорию по-  
лимеризации. М., 1965, 247. 10. E. Sjöstrom, P. Hägg-  
lund, J. Janson. Svensk Papperstidn, 65, 855  
(1962). 11. W.Q. Jean, D.A.I. Goring. Tappi, 47,  
16 (1964). 12. В.А. Климова. Основные микрометоды анали-  
за органических соединений. М., 1967, 117. 13. F. Vieböck,  
A. Schwappach. Rer. 63B, 2818 (1930). 14.  
L. Filipovik, Z. Stefanek, Groat. Chem. acta,  
30, 149 (1958).